

CAPÍTULO

4 FILTROS



Son dispositivos electrónicos que permiten atenuar las componentes alternas sin modificar la componente continua de la señal de entrada.

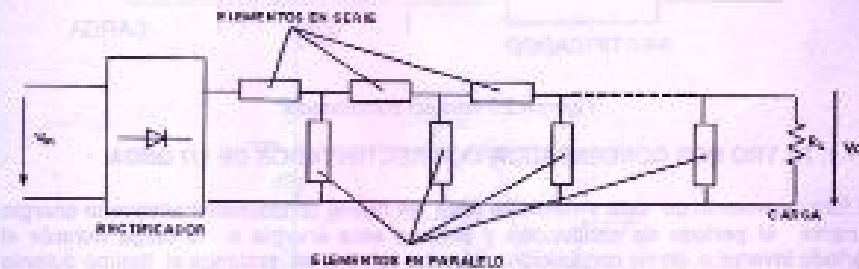


Figura 4.1 Redes de Filtrado

En esta red se distingue elementos en serie y elementos en paralelo. El efecto del filtrado se manifiesta de la siguiente manera:

Elemento en serie: $\left\{ \begin{array}{l} \text{cortocircuito para señal DC} \\ \text{circuito abierto para señal AC} \end{array} \right\}$ bobinas

Elemento en paralelo: $\left\{ \begin{array}{l} \text{cortocircuito para AC} \\ \text{circuito abierto para DC} \end{array} \right\}$ capacitores

bobinas: $X_L = \omega \cdot L$

(Ecuación 4.1)

capacitores: $X_C = 1/\omega \cdot C$

(Ecuación 4.2)

4.1. FILTROS POR CONDENSADOR

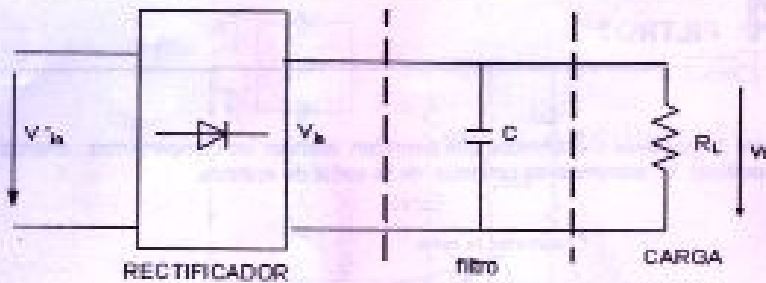


Figura 4.2 Filtros por condensador

4.1.1. FILTRO POR CONDENSADOR CON RECTIFICADOR DE 1/2 ONDA

El funcionamiento de este sistema se basa en que el condensador almacena energía durante el período de conducción y entrega esta energía a la carga durante el período inverso o de no conducción. De esta manera se prolonga el tiempo durante el cual circula corriente por la carga y se disminuye notablemente el rizado.

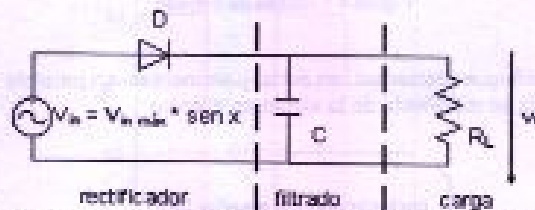


Figura 4.3 Filtro por Condensador con rectificador de 1/2 Onda

ANÁLISIS:

a) Si $R_L \rightarrow \infty$ entonces el capacitor no tiene por donde descargarse.

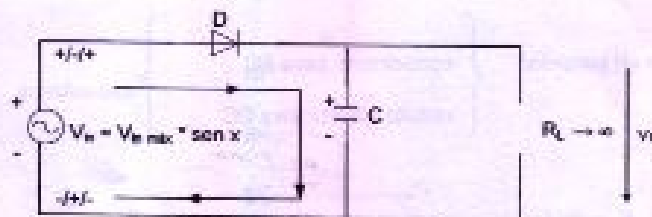


Figura 4.4 Diagrama Circital con $R_L \rightarrow \infty$

a.1) Semiciclo (+) $0 < x < \pi$

El diodo en PD \rightarrow conduce hasta $\pi/2$

$\Rightarrow V_C = V_{m_max}$ (el capacitor se carga hasta V_{m_max})

luego $(\pi/2 \leq x \leq \pi)$ el diodo en $PD \rightarrow$ se abre

a.2) Semiciclo (-) $\pi \leq x \leq 2\pi$

El diodo en $PI \rightarrow$ se abre, sin embargo el capacitor C conserva su carga a V_{max}

a.3) 2° Semiciclo (+) $2\pi \leq x \leq 3\pi$

El diodo no conduce de aquí en adelante $\Rightarrow V_C = V_{max}$

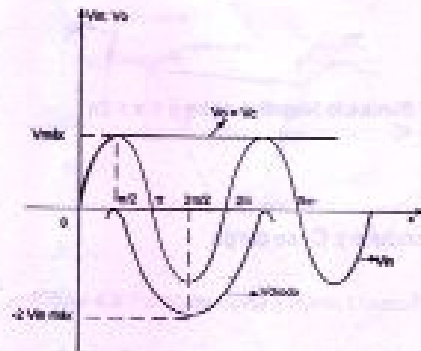


Figura 4.5 Semiciclo Positivo entre $2\pi \leq x \leq 3\pi$

$$V_{in} - V_{max} - V_{out} = 0$$

$$V_{out} = V_{in} - V_{max}$$

$$V_d = V_{in} - V_{max}$$

b) Si R_L es finita

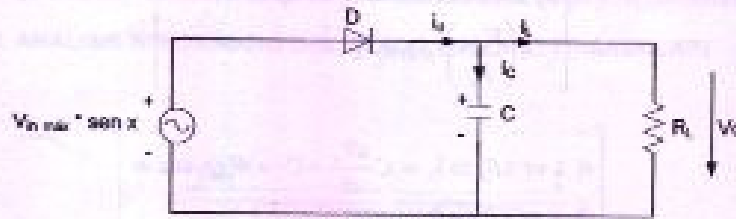


Figura 4.6 Si R_L Finita

b.1) Semiciclo (+) $0 \leq x \leq \pi$

El capacitor se carga hasta V_{max}

b.2) Semiciclo (-) $\pi \leq x \leq 2\pi$

El condensador se descarga por RL

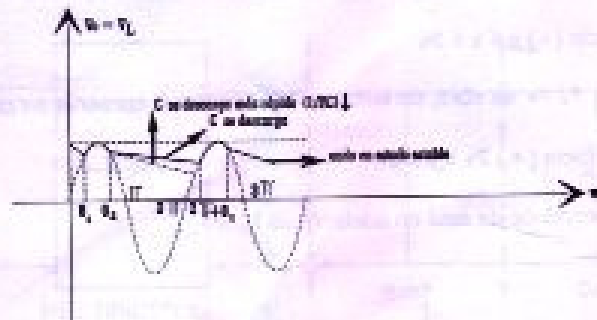


Figura 4.7 Semiciclo Negativo entre $\pi \leq x \leq 2\pi$

Cuando:

$\theta_1 \leq \omega t \leq \theta_2$: El diodo conduce y C se carga

$$\Rightarrow V_L = V_L = V_{\text{max}} \cdot \text{sen } \omega t$$

$\theta_2 \leq \omega t \leq 2\pi + \theta_1$: El diodo se abre y el capacitor C se descarga en RL

$$\Rightarrow V_L = V_{\text{max}} \cdot \text{sen } \theta_2 \cdot e^{-\frac{t}{RC}}$$

$$i_L = i_C + i_D$$

$$i_L \begin{cases} \theta_1 \leq \omega t \leq \theta_2 \Rightarrow i_L = \frac{V_L}{R_L} = \left(\frac{V_{\text{max}}}{R_L} \right) \cdot \text{sen } \omega t \\ \theta_2 \leq \omega t \leq 2\pi + \theta_1 \Rightarrow i_L = -i_C \\ i_L = \left(\frac{V_{\text{max}}}{R_L} \right) \cdot \text{sen } \theta_2 \cdot e^{-\frac{t}{RC}} \end{cases}$$

$$i_C \begin{cases} \theta_1 \leq \omega t \leq \theta_2 \Rightarrow i_C = C \frac{dV_L}{dt} = C \cdot \omega \cdot V_{\text{max}} \cdot \cos \omega t \\ \theta_2 \leq \omega t \leq 2\pi + \theta_1 \\ \Rightarrow i_C = - \left(\frac{V_{\text{max}}}{R_L} \right) \cdot \text{sen } \theta_2 \cdot e^{-\frac{t}{RC}} \end{cases}$$

$$i_L \begin{cases} \theta_1 \leq \omega t \leq \theta_2 \\ i_L = V_{\text{max}} \left[\left(\frac{\text{sen } \omega t}{R_L} \right) + C \cdot \omega \cdot \cos \omega t \right] \\ \theta_2 \leq \omega t \leq 2\pi + \theta_1 \Rightarrow i_L = 0 \end{cases}$$

$$\theta_1 = \arcsin \left(\frac{2fCR_L - 1}{2fCR_L + 1} \right)$$

$$I_{abr} = V_{abr} \left(\frac{\sin(\theta_1)}{R_L} + C \cdot \omega \cdot \cos \theta_1 \right)$$

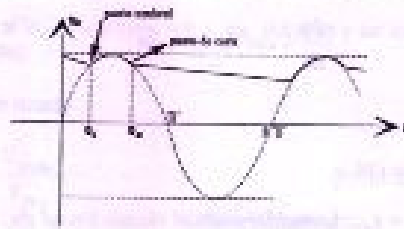


Figura 4.8 Punto de Corte y Punto Umbral

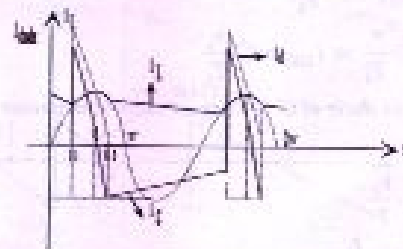


Figura 4.9 Representación de las Corrientes del Diodo, de Carga y del Condensador

4.1.2. ANALISIS APROXIMADO DEL RIZADO r (RIZADO TRIANGULAR)

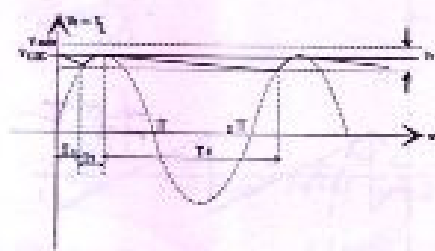


Figura 4.10 Rizado Triangular

V_{sat} = máximo voltaje en los terminales de la carga
 V_r = valor pico a pico del voltaje alterno o del rizado
 T_1 = Tiempo de carga del condensador C
 T_2 = Tiempo de descarga del condensador C
 T = Tiempo de un ciclo.

$$V_{LDC} = V_{sat} - \frac{V_r}{2} \quad \text{(Ecuación 4.3)}$$

Cuando C se descarga se supone que lo hace con una velocidad constante

$$\frac{dq}{dt} = cte \Rightarrow i_c = cte$$

$$q = C v_c$$

$$i_c = C \frac{dv_c}{dt} = cte$$

$$dv_c = \Delta v_c = v_r \quad (\text{considerando el rizado lineal } dv_c = \Delta v_c)$$

$$dt = \Delta t = T_2$$

$$\Rightarrow i_c = C \cdot \frac{\Delta v_c}{\Delta t} = C \frac{v_r}{T_2}$$

$$\text{e } i_L = -C \cdot \frac{v_r}{T_2} \Rightarrow I_{LDC} = C \cdot \frac{v_r}{T_2}$$

Si $T_2 \rightarrow 0$ es decir el C se carga instantáneamente

$$\Rightarrow T_2 \rightarrow T$$

$$\Rightarrow I_{LDC} = C \cdot \frac{v_r}{T}$$

$$v_r = -T \frac{I_{LDC}}{C} = \frac{I_{LDC}}{f C} \quad \text{(Ecuación 4.4)}$$

f = frecuencia de entrada

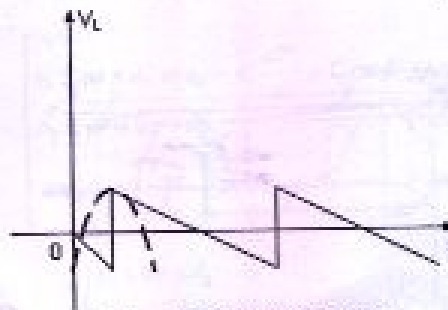


Figura 4.11 Rizado Triangular

(4.4) en (4.3) $\Rightarrow V_{LDC} = V_{min} - \frac{I_{LDC}}{2fC}$

$V_{LDC} = I_{LDC} \cdot R_L$

$V_{LDC} = V_{min} - \frac{V_{LDC}}{2 \cdot f \cdot C \cdot R_L}$

$\Rightarrow V_{LDC} = \frac{V_{min}}{\left(1 + \frac{1}{2 \cdot f \cdot C \cdot R_L}\right)}$ (Ecuación 4.5)

De la ecuación (4.5) si $V_{LDC} = V_{m\acute{a}x} \Rightarrow r$ es m\acute{ı}nimo y se logra un buen filtrado (si f o C o R_L se incrementa).

Analizando el factor de rizado

$r = \frac{V_{eficaz}}{V_{DC}}$ (Ecuaci3n 4.6)

V_{eficaz} = valor eficaz de la componente alterna
 V_{DC} = valor de continua en la carga

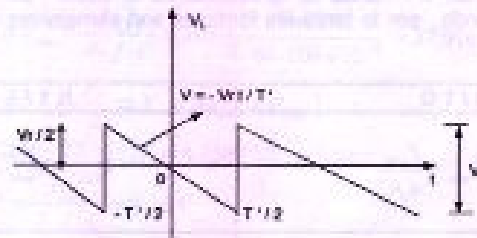


Figura 4.12 Rizado Triangular para calcular V_{eficaz}

$$V_{eficaz}^2 = \left(\frac{1}{T}\right) \int_{-T/2}^{T/2} \left(v_p^2 \cdot \frac{t^2}{T^2}\right) dt = \frac{v_p^2}{12}$$

$$V_{eficaz} = \frac{v_p}{2\sqrt{3}}$$
 (Ecuaci3n 4.7)

$$r = \frac{\left(\frac{v_p}{2\sqrt{3}}\right)}{V_{LDC}} = \frac{v_p}{2\sqrt{3} \cdot V_{LDC}} = \frac{I_{LDC}}{2\sqrt{3} \cdot f \cdot C \cdot V_{LDC}}$$

$r = \frac{1}{2\sqrt{3} \cdot f \cdot C \cdot R_L}$ para el rectificador de 1/2 onda. (Ecuaci3n 4.8)

Si $C \uparrow \Rightarrow r$ es mínimo

$$V_{LDC} = \frac{V_{max}}{\left(1 + \frac{1}{2 \cdot f \cdot C \cdot R_L}\right)} = \frac{V_{max}}{(1 + \sqrt{3} r)} \quad \text{(Ecuación 4.8)}$$

4.1.3 FILTRO POR C CON RECTIFICADOR DE 1/1 ONDA

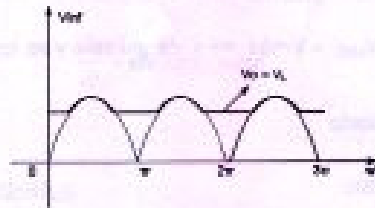


Figura 4.13 Gráfica de Filtro por Condensador con Rectificador de 1/1 Onda

f = frecuencia de la señal de entrada

Para el rectificador de 1/1 onda la frecuencia es el doble de la frecuencia del rectificador de 1/2 onda, por lo tanto las fórmulas son semejantes solo que se debe cambiar f por 2f así:

R 1 / 1 O	R 1 / 2 O
$V_{LDC} = V_{max} - \frac{I_{LDC}}{4fC}$	$V_{LDC} = V_{max} - \frac{I_{LDC}}{2fC}$
$V_{LDC} = \frac{V_{max}}{\left(1 + \frac{1}{4 \cdot f \cdot C \cdot R_L}\right)}$	$V_{LDC} = \frac{V_{max}}{\left(1 + \frac{1}{2 \cdot f \cdot C \cdot R_L}\right)}$
$r = \frac{1}{4\sqrt{3} \cdot f \cdot C \cdot R_L}$	$r = \frac{1}{2\sqrt{3} \cdot f \cdot C \cdot R_L}$
$\theta_1 = \text{sen}^{-1}\left(\frac{4fCR_L - 1}{4fCR_L + 1}\right)$	$\theta_1 = \text{sen}^{-1}\left(\frac{2fCR_L - 1}{2fCR_L + 1}\right)$
$\theta_2 = \text{tg}^{-1}(4\pi \cdot f \cdot C \cdot R_L)$	$\theta_2 = \text{tg}^{-1}(2\pi \cdot f \cdot C \cdot R_L)$

Tabla 4.1 Ecuaciones de Rectificador de 1/2 y 1/1 Onda

EJERCICIOS

4.1.3.1 Determinar el voltaje de rizado V_r en un rectificador 1/1 onda con filtro por condensador donde $C = 100 \mu F$ si la carga se absorbe 50 mA de corriente continua. Además calcular el $\%r$ (% de rizado) si el voltaje pico rectificado es 30 V .

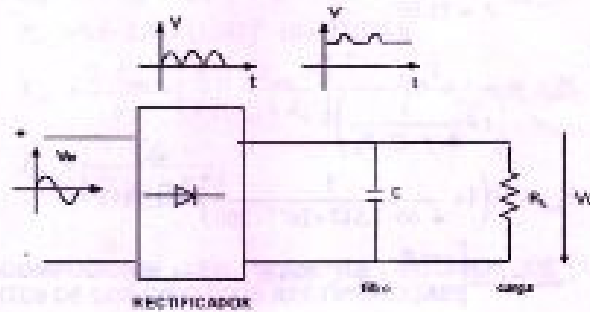


Figura 4.14 Circuito Rectificador de 1/1 Onda con Filtro del Ejercicio 1

$V_r = ?$; $C = 100 \mu F$; $I_{LDC} = 50 \text{ mA}$; $\%r = ?$; $V_{m\text{br}} = 30 \text{ V}$.

$$V_{LDC} = V_{m\text{br}} - \frac{I_{LDC}}{4 \cdot f \cdot C} = 30 - \frac{50 \times 10^{-3}}{4 \cdot 60 \cdot 100 \times 10^{-6}} = 27.916 \text{ V}$$

$$V_{LDC} = V_{m\text{br}} - \frac{V_r}{2} \Rightarrow V_r = 2(V_{m\text{br}} - V_{LDC})$$

$$V_r = 2(30 - 27.916) \text{ V} = 4.168 \text{ V}$$

$$\text{ó } V_r = \frac{I_{LDC}}{2 \cdot f \cdot C} = 4.16 \text{ V}$$

$$R_L = \frac{V_{LDC}}{I_{LDC}} = \frac{27.916 \text{ V}}{50 \times 10^{-3} \text{ A}} = 558.32 \Omega$$

$$\%r = \frac{1}{4\sqrt{3} \cdot f \cdot C \cdot R_L} - \left(\frac{1}{4\sqrt{3} \cdot 60 \cdot 100 \times 10^{-6} \cdot 558.32} \right) \cdot 100 = 4.308 \%$$

4.1.3.2. Un rectificador de 1/1 onda con filtro capacitivo entrega 50 V de continua y $0,8 \text{ Vrms}$ de rizado a una carga de 200Ω . Hallar la corriente pico que debe soportar los diodos.

$$\%r = \frac{V_{m\text{br}}}{V_{LDC}} = \frac{0.8}{50} = 0.16 = \frac{1}{4\sqrt{3} \cdot f \cdot C \cdot R_L}$$

$$\Rightarrow C = \frac{1}{4\sqrt{3} \cdot f \cdot \%r \cdot R_L} = 7.517 \times 10^{-4} \text{ F}$$

$$\theta_1 = \tan^{-1} \left[\frac{4fCR_L - 1}{4fCR_L + 1} \right]$$

$$\theta_1 = \tan^{-1} \left[\frac{4 \cdot 60 \cdot 7.517 \times 10^{-4} \cdot 200 - 1}{4 \cdot 60 \cdot 7.517 \times 10^{-4} \cdot 200 + 1} \right]$$

$$\theta_1 = 71.09^\circ$$

$$V_{DC} = \frac{V_{ms}}{\left(1 + \frac{1}{4 \cdot f \cdot C \cdot R_L} \right)}$$

$$V_{ms} = 50 \left(1 + \frac{1}{4 \cdot 60 \cdot 7.517 \times 10^{-4} \cdot 200} \right) = 51.385 \text{ V}$$

$$I_{ms} = V_{ms} \left[\frac{\sin \theta_1}{R_L} + \omega \cdot C \cdot \cos \theta_1 \right]; I_o = I_c + I_L$$

$$I_{ms} = 51.385 \cdot \left[\frac{\sin 71.09}{200} + 2 \cdot \pi \cdot 7.517 \times 10^{-4} \cdot \cos 71.09 \right]$$

$$I_{ms} = 4.96 \text{ A}$$

$$I_{rms} = \frac{I_{ms}}{\sqrt{2}} = \frac{V_{ms}}{\left(\sqrt{2} \cdot (r_{on} + R_L') \right)}$$

Con $R_L' = R_L \parallel X_C$

Cuál es la potencia media que disipa el diseño

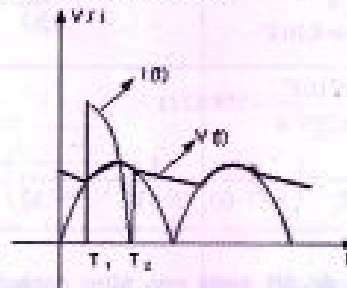


Figura 4.15 Diagrama de Corriente y Voltaje del Circuito

$$P_{DC} = \left(\frac{1}{T} \right) \int_0^T v(t) i(t) dt$$

$$P_{DC} = \left(\frac{1}{T} \right) \left[\int_0^{T_1} v(t) i(t) dt + \int_{T_2}^{T_3} v(t) i(t) dt \right]$$

$$P_{DC} = \left(\frac{1}{T} \right) \left[\int_0^{T_1} (0.7 + r_{on} \cdot i(t)) i(t) dt \right]$$

en el diodo: $V_{DC}(t) = 0.7 + r_{on} \cdot i(t)$

$$P_{DC} = \left(\frac{0.6}{T} \right) \int_0^{\pi} i(t) dt + \left(\frac{r_{on}}{T} \right) \int_0^{\pi} i^2(t) dt$$

$$P_{DC} = 0.6 \cdot I_{DC} + r_{on} (\beta) \cdot I_{DC}^2$$

$$P_{DC} = 0.6 \cdot 2.78 + (3.088)^2 \cdot 10 = 97.025 \text{ W}$$

$$I_{DC} = \frac{2 \cdot I_{max}}{\pi} = \left(\frac{2}{\pi} \right) \left[\frac{V_{max}}{r_{on} + R_L'} \right] \quad \text{con } R_L' = R_L // X_C$$

$$I_{max} = \left[\frac{V_{max}}{\sqrt{2} (r_{on} + R_L')} \right]$$

4.1.4. DESCOMPOSICIÓN EN SERIE DE FOURIER DE LAS ONDAS PROVENIENTES DE LOS CIRCUITOS RECTIFICADORES.

a). RECTIFICADOR DE 1/2 ONDA

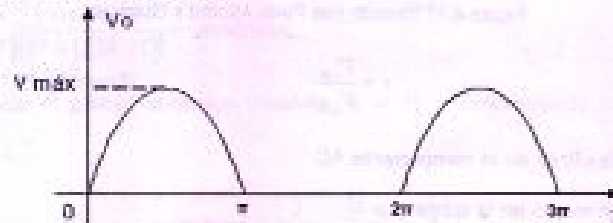


Figura 4.16 Rectificador de media Onda

Descomponiendo la señal rectificada de 1/2 onda en series de Fourier resulta:

$$v = V_{max} \left[\frac{1}{\pi} + \left(\frac{1}{2} \right) \cdot \text{sen } \omega t - \left(\frac{2}{\pi} \right) \sum \frac{(\cos 2k\omega t)}{[(2k+1)(2k-1)]} \right]$$

$$\frac{V_{max}}{\pi} = \text{componente DC}$$

$$\left(\frac{V_{max}}{2} \right) \cdot \text{sen } \omega t = 1^{\text{er}} \text{ armónico}$$

$$V_{max} \left(\frac{2}{\pi} \right) \sum \frac{(\cos 2k\omega t)}{[(2k+1)(2k-1)]} = \text{Armónicos pares}$$

Si despreciamos todos los armónicos pares:

$$\Rightarrow v = V_{\text{máx}} \left[1 + \left(\frac{1}{2} \right) \cdot \text{sen } \omega t \right] \quad (\text{Ecuación 4.10})$$

$$\left(\frac{V_{\text{máx}}}{\pi} \right) = \text{componente DC}$$

$$\left(\frac{V_{\text{máx}}}{2} \right) \cdot \text{sen } \omega t = \text{componente AC.}$$

Puesto que la señal rectificada de 1/2 onda cumple con la condición (4.10) esta puede ser representada por un circuito con parte alterna y continua así:

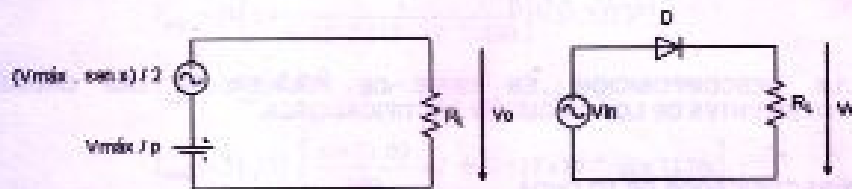


Figura 4.17 Circuito con Parte Alterna y Continua

$$r = \frac{V_{\text{LAC}}}{V_{\text{LDC}}} \quad (\text{Ecuación 4.11})$$

V_{LAC} = Voltaje eficaz de la componente AC.

V_{LDC} = Voltaje medio en la carga

$V_{\text{LAC}} = \frac{V_{\text{máx}}}{2\sqrt{2}}$ puesto que es un sinusóide $(A \cdot \text{sen } \omega t)$

$$\begin{aligned} V_{\text{máx}} &= \frac{A}{\sqrt{2}} \\ V_{\text{LDC}} &= \frac{V_{\text{máx}}}{\pi} \end{aligned} \quad (\text{Ecuación 4.12})$$

$$\Rightarrow r = \frac{\left(\frac{V_{\text{máx}}}{2\sqrt{2}} \right)}{\left(\frac{V_{\text{máx}}}{\pi} \right)} = \frac{\pi}{2\sqrt{2}}$$

$$r = 1.11$$

$$V_{\text{máx}} = \sqrt{V_{\text{LDC}}^2 + V_{\text{LAC}}^2} = \sqrt{\left(\frac{V_{\text{máx}}}{\pi} \right)^2 + \left(\frac{V_{\text{máx}}}{2\sqrt{2}} \right)^2}$$

$$V_{\text{máx}} = 0.475 V_{\text{máx}}$$

b). RECTIFICADOR DE 1/1 ONDA.

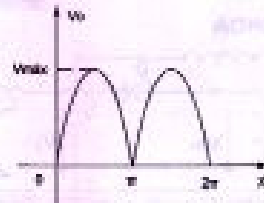


Figura 4.18 Gráfica de un Rectificador de Onda completa

Descomponiendo la señal en series de fourier tenemos:

$$v = V_{máx} \left[\frac{2}{\pi} - \left(\frac{4}{\pi} \right) \sum \frac{(\cos 2k\omega t)}{[(2k+1)(2k-1)]} \right]$$

$$V_{máx} \left(\frac{2}{\pi} \right) = \text{componente DC}$$

$$V_{máx} \left(\frac{4}{\pi} \right) \sum \frac{(\cos 2k\omega t)}{[(2k+1)(2k-1)]} = \text{armónicos.}$$

Considerando el primer armónico (cuando $k = 1$) y despreciando los armónicos superiores ($k = 2, 3, \dots$).

$$\Rightarrow v = V_{máx} \left[\frac{2}{\pi} - \frac{(4 \cdot \cos \omega t)}{3\pi} \right]$$

$$V_{máx} \left(\frac{2}{\pi} \right) = \text{componente DC}$$

$$V_{máx} \frac{(4 \cdot \cos \omega t)}{3\pi} = \text{componente AC (rizado)}$$

Reemplazando en el circuito:



Figura 4.19 Circuito Equivalente del Voltaje de Entrada

Estas componentes de voltajes son las señales que entran al filtro.

4.1.5. FILTRO POR INDUCTANCIA EN SERIE.

a) RECTIFICADOR DE 1/2 ONDA

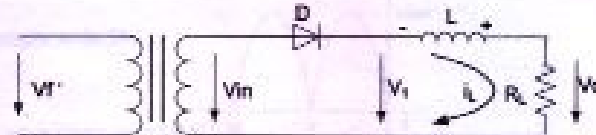


Figura 4.20 Rectificador de media onda (Filtro por inductancia en serie)

Si el diodo es ideal $\Rightarrow V_1 = V_0$

La inductancia L bloquea o atenúa a las componentes alternas. El circuito debe cumplir que:

$X_L \gg R_L$ (condición necesaria para el filtro)

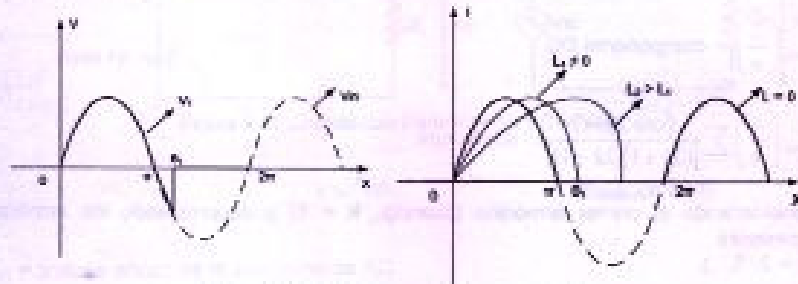


Figura 4.21 Primera condición para un Filtro

Puesto que la inductancia L almacena energía en forma de corriente permite que el ángulo de conducción del diodo se incremente.

\Rightarrow si $L_c \uparrow \Rightarrow$ el ángulo $\tau \uparrow$

$(0 \leq \omega t \leq \theta_1)$ el diodo conduce

$$V_m = V_L + V_{RL} = L \cdot \frac{di_L}{dt} + i_L \cdot R_L = V_m \cdot \sin \omega t$$

con la condición inicial $i_L = 0$ y resolviendo la ecuación diferencial :

$$\Rightarrow i = - \left(\frac{V_m}{\sqrt{R_L^2 + \omega^2 L^2}} \right) \left[\sin(\omega t - \phi) + e^{-\frac{t R_L}{L \sin \phi}} \right] \quad \text{(Ecuación 4.13)}$$

$$\phi = \text{tg}^{-1} \left(\frac{\omega L}{R_L} \right) \quad \text{(Ecuación 4.14)}$$

Empleando el circuito equivalente:

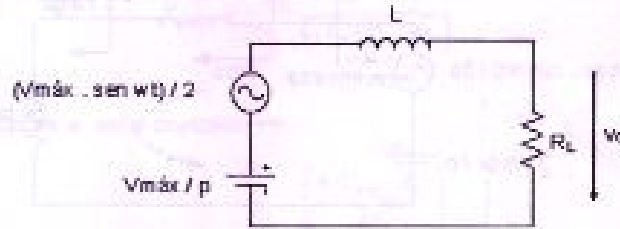


Figura 4.22 Circuito Equivalente del Filtro por Inductancia en Serie

Si consideramos elementos ideales \Rightarrow

$$V_{LDC} = \frac{V_{mb}}{\pi} \quad (\text{Ecuación 4.15})$$

$\omega = 2 \cdot \pi \cdot f$; f = frecuencia de la red

$$i_{ac} = \frac{V_{mb} \cdot \text{sen}(\omega t - \beta)}{2\sqrt{(R_L^2 + \omega^2 L^2)}} \quad (\text{corriente alterna}).$$

$$V_L = i_{ac} \cdot R_L = V_{mb} \cdot \text{sen}(\omega t - \beta) \cdot R_L / 2\sqrt{(R_L^2 + \omega^2 L^2)} \quad (\text{voltaje alterno en la carga}).$$

$$V_{L\text{eficaz}} = V_{mb} \cdot R_L / (2\sqrt{2} \cdot \sqrt{(R_L^2 + \omega^2 L^2)}) \quad (\text{voltaje de alterno eficaz})$$

$$\tau = \frac{V_{L\text{eficaz}}}{V_{LDC}} = \left(\frac{V_{mb} \cdot R_L / (2\sqrt{2} \cdot \sqrt{(R_L^2 + \omega^2 L^2)})}{V_{mb} / \pi} \right)$$

$$\tau = \frac{\pi R_L}{(2\sqrt{2} \cdot \sqrt{(R_L^2 + \omega^2 L^2)})} \quad (\text{Ecuación 4.16})$$

Si $X_L \gg R_L \Rightarrow \tau = \frac{\pi R_L}{2\sqrt{2} \cdot \omega \cdot L} \quad (\text{Ecuación 4.17})$

b). CON RECTIFICADOR DE 1/4 ONDA (TOMA CENTRAL)

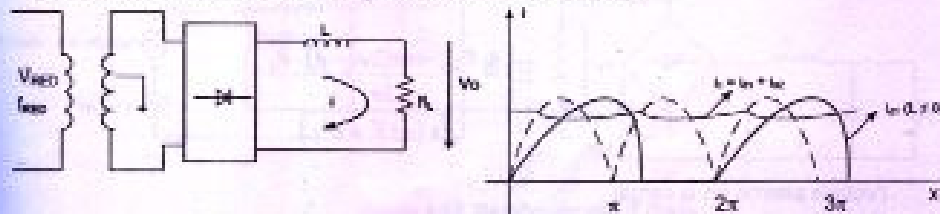


Figura 4.23 Rectificador de onda completa con toma central

El circuito equivalente es:

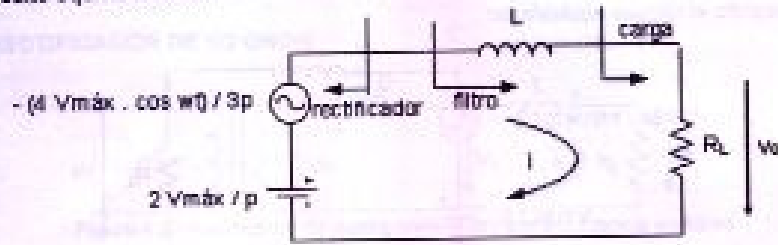


Figura 4.24 Circuito equivalente del Rectificador con Toma Central

Para DC.

Considerando elementos ideales :

$$V_{LDC} = \frac{2V_{máx}}{\pi} \quad (\text{Ecuación 4.18})$$

$$V_{LDC} = \frac{2V_{máx}}{\pi} - I_{LDC} \cdot R \quad (\text{Ecuación 4.19})$$

donde R = suma de la resistencia del diodo + bobina + transformador

Para AC.

$$i_{ac} = \frac{\left[\frac{4 \cdot V_{máx} \cdot \cos(2\omega t - \phi)}{3\pi} \right]}{\sqrt{4(\omega L)^2 + R^2_L}}$$

$$\phi = \text{tg}^{-1} \left(\frac{2\omega L}{R_L} \right) \quad (\text{Ecuación 4.20})$$

Además:

$$i_{total} = I_{DC} + i_{ac}$$

$$I_{total} = \frac{2V_{máx}}{\pi \cdot R_L} - \frac{\left[\frac{4 \cdot V_{máx} \cdot \cos(2\omega t - \phi)}{3\pi} \right]}{\sqrt{4(\omega L)^2 + R^2_L}}$$

$$V_L = i_{LDC} \cdot R_L = \frac{\left[\frac{4 \cdot V_{máx} \cdot \cos(2\omega t - \phi) \cdot R_L}{3\pi} \right]}{\sqrt{4(\omega L)^2 + R^2_L}}$$

(Voltaje alterno en la carga)

$$V_{Lmax} = \frac{\left[\frac{4 \cdot V_{max} \cdot R_L}{3\pi} \right]}{\sqrt{2} \cdot \sqrt{4(\omega L)^2 + R_L^2}}$$

(Voltaje eficaz de la señal de rizado) =>

$$\tau = \frac{V_{Lmax}}{V_{Lor}} = \frac{\left[\frac{4 \cdot V_{max} \cdot R_L}{3\pi} \right]}{\frac{2V_{max}}{\pi}}$$

$$\tau = 2R_L / 3\sqrt{2} \cdot \sqrt{4(\omega L)^2 + R_L^2}$$

$$X_L = 2\omega L$$

Como en un filtro se cumple $X_L \gg R_L$

$$\Rightarrow \tau = 2R_L / 3\sqrt{2} \cdot 2\omega L$$

$$\tau = \frac{R_L}{3\sqrt{2} \cdot \omega L}$$

(Ecuación 4.21)

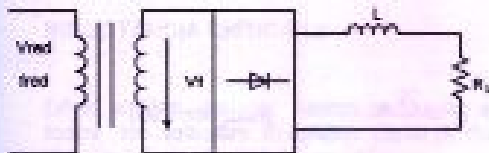


Figura 4.25 Circuito de Onda Completa con Toma Central

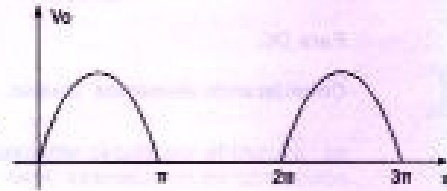


Figura 4.26 Onda de Salida correspondiente a la Figura 4.25

4.1.6 FILTRO LC O DE SECCION L.

a). RECTIFICADOR DE 1/1 ONDA.

Reemplazando el circuito equivalente:

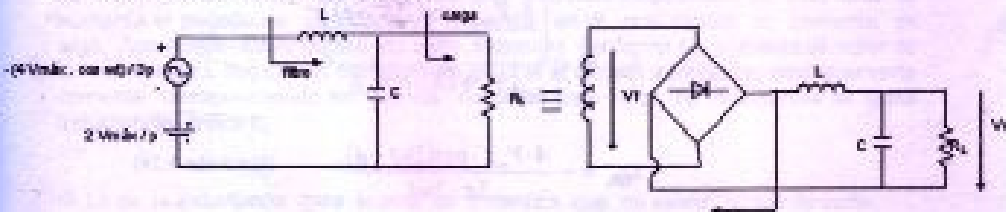


Figura 4.27 Rectificador de 1/1 Onda.

Un buen filtro debe cumplir dos condiciones:

- 1) $X_C \ll R_L$
 - 2) $X_L \gg X_C$
- a) $X_C \ll R_L \Rightarrow X_C \parallel R_L \sim X_C$

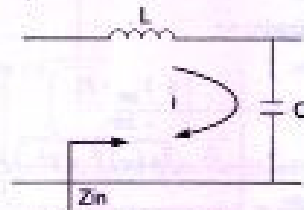


Figura 4.28 Circuito Equivalente cuando $X_C \ll R_L$

b) $X_L \gg X_C$ (para bloquear las señales AC)

$\Rightarrow Z_{in} = X_L + X_C \sim X_L \Rightarrow$ el circuito nos queda:



Figura 4.29 Circuito Equivalente cuando $X_L \gg X_C$

Para DC.

Considerando elementos ideales.

$$V_{LDC} = \frac{2V_{m\phi}}{\pi} \quad \text{(Ecuación 4.22)}$$

Considerando elementos reales :

$$V_{LDC} = \frac{2V_{m\phi}}{\pi} - I_{LDC} \cdot R; \text{ donde } R = R_T + R_D + R_L \quad \text{(Ecuación 4.23)}$$

Para AC.

$$i_{LAC} = - \frac{4 \cdot V_{m\phi} \cdot \cos(2\omega t - \phi)}{3\pi [X_L + (X_C \parallel R_L)]}$$

$$i_{LAC} = - \frac{4 \cdot V_{m\phi} \cdot \cos(2\omega t - \phi)}{3\pi \cdot 2\omega L} \quad \text{(Ecuación 4.24)}$$

Suponiendo que toda la i se va por C ($X_C \ll X_L$)

$$V_C = I_{LDC} \cdot X_C = \left[\frac{4 \cdot V_{max} \cdot \cos(2\omega t - \phi)}{3\pi \cdot 2\omega L} \right] \cdot X_C = V_{RC} = V_L$$

(Voltaje AC en la carga)

$$V_{LDC} = \left[\frac{4 \cdot V_{max}}{3\pi \cdot \sqrt{2} X_C} \right] \cdot X_C \quad \text{(Ecuación 4.25)}$$

$$X_L = 2\omega L; \quad X_C = \frac{1}{2\omega C}$$

$$\Rightarrow \tau = \frac{V_{LDC}}{V_{LDC}} = \frac{4 \cdot V_{max} \cdot X_C \cdot \pi}{3\pi \cdot \sqrt{2} \cdot X_L \cdot 2 \cdot V_{max}}$$

$$\tau = \frac{\sqrt{2} \cdot X_C}{3X_L} = \frac{1}{6\sqrt{2} \cdot \omega^2 \cdot L \cdot C} \quad \text{(No depende de RL)} \quad \text{(Ecuación 4.26)}$$

Si $f = 60 \text{ HZ} \Rightarrow \tau = 0,83 / L \cdot C$

L [H]; C [μ F]

$$I_{total} = I_{DC} + I_{AC}$$

$$I_{total} = \frac{2V_{max}}{\pi \cdot R_L} - \frac{4 \cdot V_{max} \cdot \cos(2\omega t)}{3\pi \cdot (X_L + X_C // R_L)} \quad \text{(Ecuación 4.27)}$$

INDUCTANCIA CRÍTICA L_c

En el análisis anterior hemos supuesto que la corriente circula por el circuito en todos los instantes. Si existen punto de corte, es decir, intervalos de no conducción del diodo; este análisis no es válido.

Consideremos:

a). Cuando no se utiliza inductancia existe a través del diodo durante un cierto periodo y por lo tanto existen puntos de corte.

b). Supongamos ahora que colocamos una pequeña inductancia. En este caso se aumenta el periodo de conducción y el tiempo en el cual circula la corriente es algo. Aun puede existir puntos de corte. Entonces conforme se aumenta el valor de la inductancia L llegará un momento en el cual el circuito suministre continuamente corriente desapareciendo los puntos de corte. Este valor de inductancia se llama Inductancia crítica L_c .

$\Rightarrow L_c$ es la inductancia para la cual se garantiza que no exista puntos de corte.

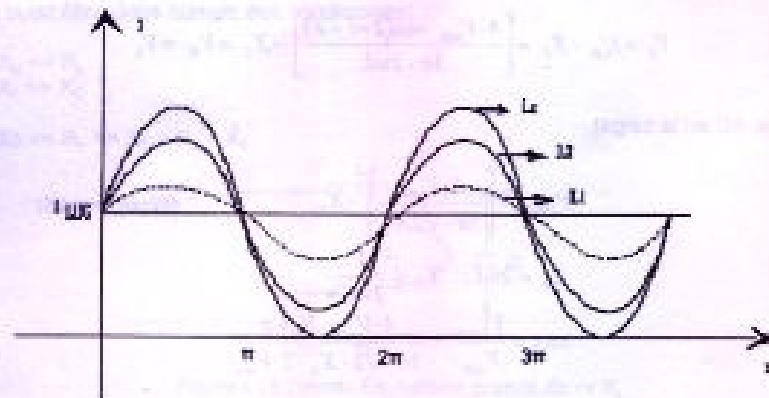


Figura 4.30 Gráfica de Inductancia Crítica

$$L_c > L_2 > L_1$$

$$I_r \geq 0$$

$$\frac{2 \cdot V_{\text{máx}}}{\pi \cdot R_L} \geq \frac{4 \cdot V_{\text{máx}}}{3\pi \cdot (X_L + X_C // R_L)}$$

$$I_{DC} \geq \frac{4 \cdot V_{\text{máx}}}{3\pi \cdot (X_L + X_C // R_L)}$$

Si $X_c \ll R_L$ y $X_L \gg X_C$

$$\Rightarrow I_{DC} \geq \frac{4 \cdot V_{\text{máx}}}{3\pi \cdot X_L}$$

$$\frac{2 \cdot V_{\text{máx}}}{\pi \cdot R_L} \geq \frac{4 \cdot V_{\text{máx}}}{3\pi \cdot X_L}$$

$$\frac{1}{R_L} \geq \frac{1}{3\omega L} \Rightarrow \frac{1}{R_L} = \frac{1}{3\omega L_c}$$

$$L_c = \frac{R_L}{3\omega} \text{ (Inductancia crítica)}$$

Para los criterios de diseño se debe hacer cumplir que: $L > L_c$ (para evitar punto de corte), normalmente se utiliza:

$L_c \approx 1.25 L_c$, es decir aumentar en un 25%

RESISTENCIA DE ESCAPE O DRENAJE

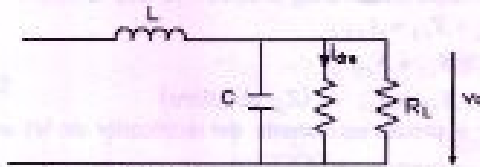


Figura 4.31 Resistencia de escape o drenaje

Con el propósito de disminuir el valor de L_c se coloca una resistencia de escape, de tal manera que:

$$L_c = R_e // \frac{R_L}{3\omega} < \frac{R_L}{3\omega}$$

$$L_c = \frac{R_e}{3\omega}$$

$$\Rightarrow I_{av} = \frac{V_{apc}}{R_e} = \frac{V_{apc}}{3\omega L_c}$$

4.1.7 FILTRO EN L MÚLTIPLE

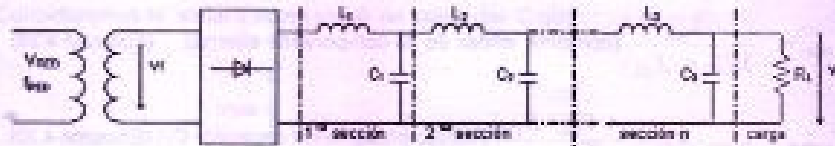


Figura 4.32 Filtro en L Múltiple

RECTIFICADOR DE 1/1 ONDA

Para n=2

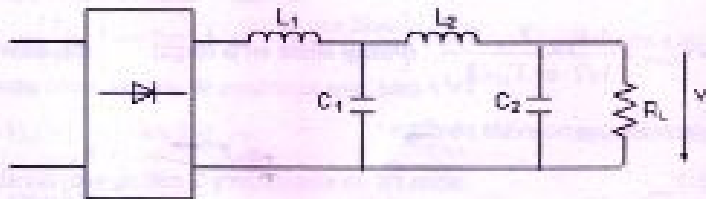


Figura 4.33 Rectificador de Media Onda

$X_L = 2\omega L$; $X_C = 1/2\omega C$

En este filtro se debe cumplir que:

$$\begin{aligned}
 X_{C2} \ll R_L &\Rightarrow R_L \parallel X_{C2} \approx X_{C2} \\
 X_{L2} \gg X_{C2} &\Rightarrow X_{L2} + X_{C2} \approx X_{L2} \\
 X_{C1} \ll X_{L2} &\Rightarrow X_{C1} \parallel X_{L2} \approx X_{C1} \\
 X_{L1} \gg X_{C1} &\Rightarrow X_{L1} + X_{C1} \approx X_{L1} \quad (Z_m \text{ del filtro})
 \end{aligned}$$

Reemplazando por el circuito equivalente del rectificador de 1/1 onda.

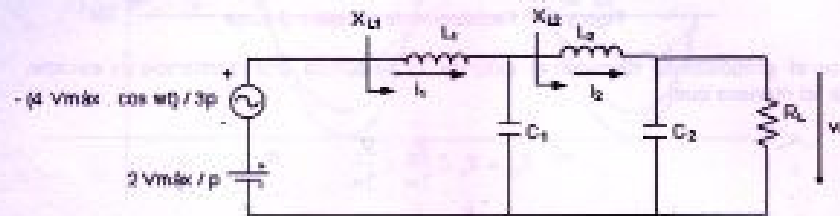


Figura 4.34 Circuito Equivalente del Rectificador de 1/1 Onda

$$i_1 = - \frac{[4 \cdot V_{máx} \cdot \cos(2\omega t - \phi)]}{3\pi \cdot X_{L1}} \quad (\text{corriente AC pura}) \quad (\text{Ecuación 4.28})$$

$$i_{1\text{ef}} = \frac{4 \cdot V_{máx}}{3\sqrt{2} \cdot \pi \cdot X_{L1}} \quad (\text{corriente eficaz de la componente alterna}) \quad (\text{Ecuación 4.29})$$

$$V_{C1\text{ef}} = i_{1\text{ef}} \cdot X_{C1} = \frac{4 \cdot V_{máx} \cdot X_{C1}}{3\sqrt{2} \cdot \pi \cdot X_{L1}} \quad (\text{voltaje eficaz en el capacitor } C_1) \quad (\text{Ecuación 4.30})$$

$$i_{2\text{ef}} = \frac{V_{C1\text{ef}}}{X_{L2}} = \frac{4 \cdot V_{máx} \cdot X_{C1}}{3\sqrt{2} \cdot \pi \cdot X_{L1} \cdot X_{L2}} \quad (\text{Ecuación 4.31})$$

$$V_{C2\text{ef}} = i_{2\text{ef}} \cdot X_{C2} = \frac{4 \cdot V_{máx} \cdot X_{C1} \cdot X_{C2}}{3\sqrt{2} \cdot \pi \cdot X_{L1} \cdot X_{L2}}$$

$$V_{C2\text{ef}} = V_{L\text{ef}} = \frac{4 \cdot V_{máx} \cdot X_{C1} \cdot X_{C2}}{3\sqrt{2} \cdot \pi \cdot X_{L1} \cdot X_{L2}} \quad (\text{Voltaje eficaz en la carga}) \quad (\text{Ecuación 4.32})$$

Si consideramos que no existe pérdidas :

$$V_{LDC} = \frac{2 \cdot V_{máx}}{\pi} \quad (\text{Ecuación 4.33})$$

$$\Rightarrow \tau = \frac{V_{L\text{ef}}}{V_{LDC}} = \frac{\frac{4 \cdot V_{máx} \cdot X_{C1} \cdot X_{C2}}{3\sqrt{2} \cdot \pi \cdot X_{L1} \cdot X_{L2}}}{\frac{2 \cdot V_{máx}}{\pi}}$$

$$\tau = \frac{\sqrt{2} \cdot X_{C1} \cdot X_{C2}}{3 \cdot X_{L1} \cdot X_{L2}} \quad (\text{Ecuación 4.34})$$

También se debe considerar que $L_1 > L_c$ para garantizar la no existencia de puntos de no conducción.

4.1.8. FILTROS π

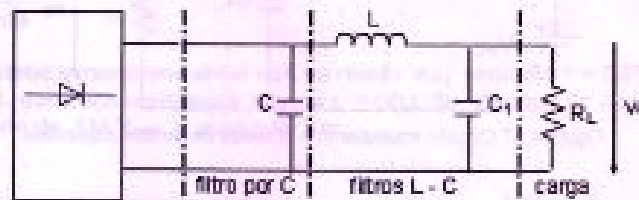


Figura 4.35 Filtros π

Se caracteriza por tener un rizado muy pequeño, los picos de corrientes son altos, la regulación de carga es mala:

$$\% \text{ regulación} = [(V_{V_{max}} - V_{V_{min}}) / V_{V_{max}}] \cdot 100$$

Casi similar a la del filtro capacitivo:

$$\% \text{ regulación} = 0\% \text{ (fuente ideal)}$$

Para el análisis:

Consideremos la señal V como señal de salida del C que entra en el filtro L .

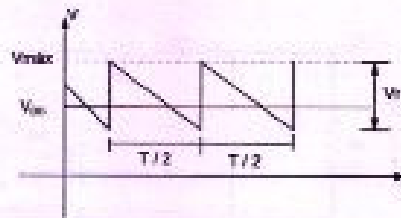


Figura 4.38 Señal de entrada al Filtro

Descomponiendo en series de fourier:

$$V = V_{DC} - \left(\frac{V_r}{\pi}\right) \left[\sin 2\omega t - (-1)^{k+1} \sum \frac{\sin 2k\omega t}{k} \right] \quad \text{(Ecuación 4.35)}$$

Si consideramos la serie de armónicos solo para $k = 1$

$$\Rightarrow V = V_{av} - \left(\frac{V_r}{\pi}\right) \cdot \sin 2\omega t \quad \text{(Ecuación 4.36)}$$

Recordando para un filtro C y rectificador de 1/1 onda:

$$I_{LDC} = 2 \cdot f \cdot C \cdot V_r \quad \text{(Ecuación 4.37)}$$

$$V_{LDC} = V_{max} - \frac{V_r}{2} = V_{max} - \frac{I_{LDC}}{4 \cdot f \cdot C} = V_{av} \quad \text{(Ecuación 4.38)}$$

Expresando en un circuito equivalente la expresión de salida del filtro C capacitivo:

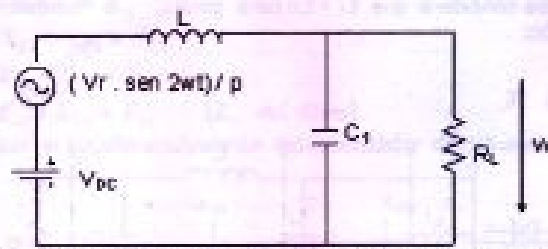


Figura 4.37 Circuito equivalente a la salida de un filtro capacitivo

$$X_{C1} = \frac{1}{2\omega C}; X_L = 2\omega L \quad \text{(Ecuación 4.38)}$$

$$V_{C1ac} = \frac{[V_r \cdot X_{C1} \cdot \text{sen}(2\omega t - \phi)]}{\pi \cdot X_L} \quad \text{(voltaje alterno } C_1)$$

$$V_{C1ac} = V_{RL} = \frac{[V_r \cdot X_{C1} \cdot \text{sen}(2\omega t - \phi)]}{\pi \cdot X_L} \quad \text{(Ecuación 4.40)}$$

$$V_{C1ac} = \frac{[V_r \cdot X_{C1}]}{\pi \cdot 2 \cdot X_L} \quad \text{(valor eficaz de la componente alterna en la carga)}$$

$$V_{DC} = I_{DC} \cdot R_L$$

$$V_{C1ac} = \frac{I_{DC} \cdot X_{C1}}{2\sqrt{2} \cdot \pi \cdot f \cdot C \cdot X_L}$$

$$X_C = \frac{1}{2 \cdot \omega \cdot C} = \frac{1}{4\pi \cdot f \cdot C}$$

$$\Rightarrow V_{C1ac} = \frac{2 \cdot I_{DC} \cdot X_{C1}}{4\sqrt{2} \cdot \pi \cdot f \cdot C \cdot X_L} = \frac{2 \cdot I_{DC} \cdot X_C \cdot X_{C1}}{\sqrt{2} \cdot X_L} \quad \text{(Ecuación 4.41)}$$

$$r = \frac{V_{C1ac}}{V_{DC}} = \frac{[2 \cdot I_{DC} \cdot X_C \cdot X_{C1}]}{\sqrt{2} \cdot X_L \cdot I_{DC} \cdot R_L}$$

$$r = \frac{\sqrt{2} \cdot X_C \cdot X_{C1}}{X_L \cdot R_L} \quad \text{(Ecuación 4.42)}$$

CRITERIOS DE DISEÑO:

$$X_{C1} \ll R_L$$

$$X_L \gg X_{C1}$$

4.1.9. PROBLEMAS RESUELTOS:

4.1.9.1. Diseñar una fuente de alimentación que emplea un rectificador de onda completa y un filtro LC que satisfaga las condiciones siguientes:

$V_{DC} = 250 \text{ V}$
 $I_{DC} = 180 \text{ mA}$

La fuente debe generar una señal con un rizado muy pequeño $r = 0,6\%$ y el filtro inductivo L tiene una resistencia interna $r_L = 50\Omega$. Se dispone de una fuente de alimentación de 115 V_{RMS} y una $f = 60 \text{ Hz}$.

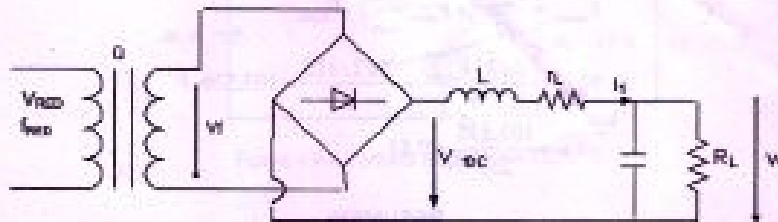


Figura 4.38

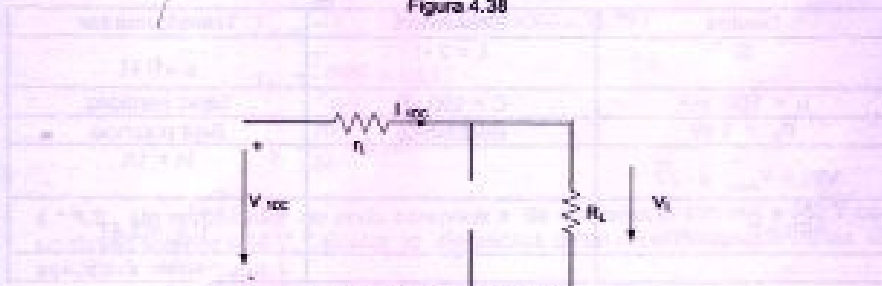


Figura 4.38 Circuito DC

$$I_{DC} \cdot (r_L + R_L) - V_{DC} = 0$$

$$R_L = \frac{V_{DC}}{I_{DC}} - r_L = \left(\frac{250}{180}\right) \text{ k}\Omega - 50 \Omega = 1338,9 \Omega$$

$$R_L \approx 1338,9 \Omega$$

$$L_C = \frac{R_L}{3\omega} = \frac{1339}{6 \cdot \pi \cdot 60} = 1,1839 \text{ H}$$

$$L > L_C \Rightarrow L = 2 \text{ H}$$

$$\tau = \frac{\sqrt{2} \cdot X_C}{3 \cdot X_L} = \frac{1}{6 \cdot \sqrt{2} \cdot \omega^2 \cdot C \cdot L}$$

$$\Rightarrow C = \frac{1}{6 \cdot \sqrt{2} \cdot \omega^2 \cdot \tau \cdot L} = 82.92 \mu\text{F}$$

$$\mu = \frac{V_C}{V_S} = \frac{V_{\text{max}}}{V_{\text{DC}}} = \frac{V_{\text{max}}}{V_{\text{min}}}$$

$$V_{\text{DC}} = \frac{2V_{\text{max}}}{\pi}$$

$$V_{\text{max}} = \frac{V_{\text{min}}}{\sqrt{2}} \Rightarrow V_{\text{min}} = \sqrt{2} \cdot V_{\text{max}}$$

$$V_{\text{DC}} = \frac{2\sqrt{2} \cdot V_{\text{max}}}{\pi} = \frac{2\sqrt{2} \cdot 115}{\pi} = 103.536 \text{ V}$$

$$\Rightarrow \mu = \frac{103.536}{250} = 0.41$$

RESUMEN:

Diodos	Elementos	Transformador
Si	L = 2 H	$\mu = 0.41$
$I_r = 500 \text{ mA}$	C = 100 μF	bajas pérdidas
$P_D = 1 \text{ W}$	electrolítico	Baja potencia
$V_{PI} = V_{\text{max}} \cdot \sqrt{2}$		$I_n = 1 \text{ A}$
$V_{PI} = V_{\text{in max}} \cdot \sqrt{2}$		$\sqrt{1/r} = 2.43$
		relación 1 : 2

Tabla 4.2 Resumen de las Respuestas y Datos del Ejercicio 4.1.9.1

4.1.9.2. Se tiene un filtro actuando sobre un rectificador de 1/1 onda con $L = 8 \text{ H}$, $C_1 = 4 \mu\text{F}$ y $r_L = 250 \Omega$.

El filtro está conectado a $R_L = 4 \text{ k}\Omega$, el $V_{\text{DC}} = 80 \text{ V}$ con 10 Vrms de rizado en el condensador C. Hallar r_{RL} en la carga.

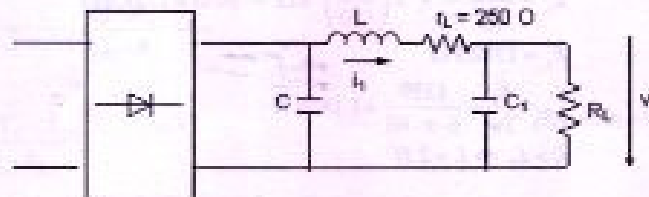


Figura 4.40.

$X_L = 3770 \Omega$ y $X_{C1} = 331.5 \Omega \Rightarrow$ si se cumple que $X_L \gg X_{C1}$

$$i_{L\max} = \frac{V_{L\max}}{X_L} = \frac{10}{2 \cdot \pi \cdot L} = \frac{10}{4 \cdot \pi \cdot 60 \cdot 5} = 0.0026 \text{ A}$$

$$V_{C1\max} = i_{L\max} \cdot X_{C1} = (0.0026) \cdot \left(\frac{1}{4 \cdot \pi \cdot 60 \cdot 4 \times 10^{-4}} \right) = 0.87 \text{ V}$$

$$\Rightarrow V_{R1\max} = V_{C1\max}$$

Circuito equivalente DC.



Figura 4.41 Circuito Equivalente DC

$$80 = I_{LDC} (250 \Omega + 4 \text{ k}\Omega) \Rightarrow I_{LDC} = 0.018 \text{ A}$$

$$V_{R1DC} = I_{LDC} \cdot R_1 = 0.018 \cdot 4000 = 75.29 \text{ V}$$

$$r_{R1} = \frac{V_{R1DC}}{V_{R1DC}} = 0.011$$

$$T_{R1} = \frac{10}{80} = 0.125$$

4.1.9.3. Un rectificador de onda completa a de suministrar 100 mA a 350 V con un rizado inferior a 10 V. Calcular lo elementos de un rectificador que utiliza un solo filtro de sección L.

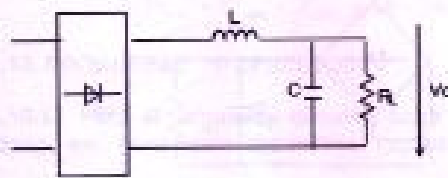


Figura 4.42

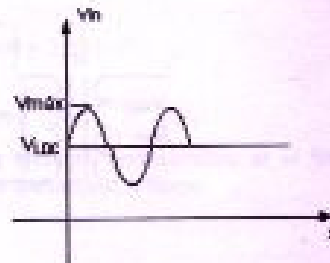


Figura 4.43

$$V_{LDC} = 350 \text{ V}; \quad I_{LDC} = 100 \text{ mA}, \quad V_{\text{max}} \leq 10 \text{ V}; \quad L = ?; \quad C = ?; \quad R_L = ?; \quad T = ?$$

$$R_L = \frac{V_{LDC}}{I_{LDC}} = 3500 \Omega$$

$$V_{LDC} = \frac{2V_{máx}}{\pi} \Rightarrow V_{máx} = 549.778 V$$

$$V_{Lrms} = \frac{V_{máx}}{\sqrt{2}} = 388.64 V$$

$$u = \frac{V_{rms}}{V_{Lrms}} = \frac{115}{388.64} = 0.295$$

$$V_{Lmáx} < \frac{10}{\sqrt{2}} = 7.071 V$$

$$\Rightarrow \tau < V_{Lrms} / V_{LDC} = 7.071 / 350 = 0.0202$$

$$\tau = \frac{\sqrt{2} \cdot X_C}{3 \cdot X_L} < 0.0202$$

$$\sqrt{2} / 48 \cdot \pi^2 \cdot f^2 \cdot L \cdot C < 0.0202$$

$$\Rightarrow L \cdot C > \sqrt{2} / 48 \cdot \pi^2 \cdot 60^2 \cdot 0.0202 = 0.0000414$$

$$X_L \gg X_C$$

$$X_C \ll R_L$$

4.1.8.4. En una fuente DC no regulada con rectificador de onda completa y filtro capacitivo se hicieron las siguientes mediciones: Voltaje de salida en circuito abierto 30 V, Voltaje de salida con una carga resistiva de 500Ω en valor medio 25 V y factor del rizado del 10 %. Cuál sería el voltaje de salida DC y AC si la carga resistiva se incrementa en un 45 % (suponer rizado triangular).

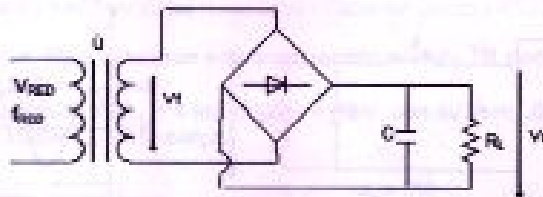


Figura 4.44 .

$V_{fms} = 30$ (en circuito abierto)
 $R_L = 500 \Omega$; $V_{LDC} = 25 V$; $\tau = 10 \%$
 $V_{LDC} = ?$; $V_r = ?$ si $R_L = 725 \Omega$

$$V_{LDC} = \frac{V_{r_{max}}}{\left(1 + \frac{1}{4 \cdot f \cdot C \cdot R_L}\right)}$$

$$\tau = \frac{1}{4 \cdot \sqrt{3} \cdot f \cdot C \cdot R_L}$$

$$\frac{1}{4 \cdot f \cdot C \cdot R_L} = \frac{V_{r_{max}}}{V_{LDC}} - 1 \Rightarrow$$

$$\frac{1}{C} = 4 \cdot f \cdot R_L \cdot \left(\frac{V_{r_{max}}}{V_{LDC}} - 1\right)$$

de donde $C = 41,68 \mu F$

$$\tau = \frac{V_{r_{max}}}{V_{LDC}}$$

$$V_{r_{max}} = \frac{7,964 (26)}{100} = 2,1 V$$

$$V_{LDC} = V_{r_{max}} - \frac{V_r}{2}$$

$$\tau = \left(\frac{1}{4 \cdot \sqrt{3} \cdot 60 \cdot 41,66 \times 10^{-6} \cdot 725}\right) \cdot 100 = 7,964 \%$$

$$V_{LDC} = \left(\frac{30}{1 + \frac{1}{4 \cdot 60 \cdot 41,66 \times 10^{-6} \cdot 725}}\right) = 26,3631 V$$

$$V_{r_{max}} = V_{r_{min}} - V_{LDC} = 30 - 26,3631 = 3,637 V$$

4.1.10. PROBLEMAS PROPUESTOS:

4.1.10.1. Para el siguiente circuito, haga un análisis comparativo si el filtro utilizado es: puramente capacitivo, capacitivo-inductivo, o tipo π .

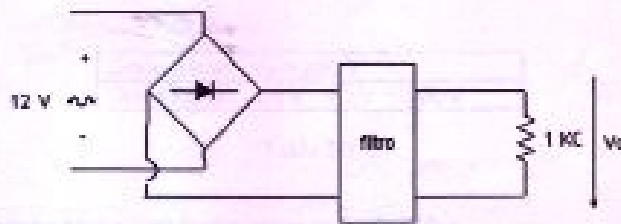


Figura 4.45

4.1.10.2. Diseñar una fuente de voltaje DC, utilizando un transformador con tap central y un filtro tipo LC. Las características de la fuente son 10 V DC y un voltaje de rizado de 50 mV de valor RMS.

4.1.10.3. Diseñar una fuente de voltaje capaz de suministrar un voltaje de 25 V DC a la salida, con un factor de rizado del 1%, para una carga resistiva de 10 K Ω

4.1.10.4. En una fuente DC se requiere una regulación de carga completa y una regulación de línea de 10 veces los siguientes. Se desea un voltaje de salida de 25 V DC, un factor de rizado de 1% y una carga resistiva de 10 K Ω en el secundario de 25 V y un tap del primario del 25%. Diseñar una fuente de voltaje DC y AC de la menor potencia de disipación posible en un transformador de potencia.

